

ANEXO – MAPAS

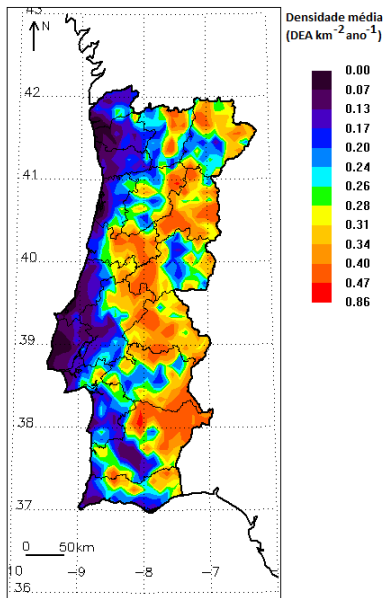


Fig.A1 – Distribuição espacial de valores médios de densidade de DEA NS, com resolução de 0.10°x0.10° no período de 2003 a 2009.

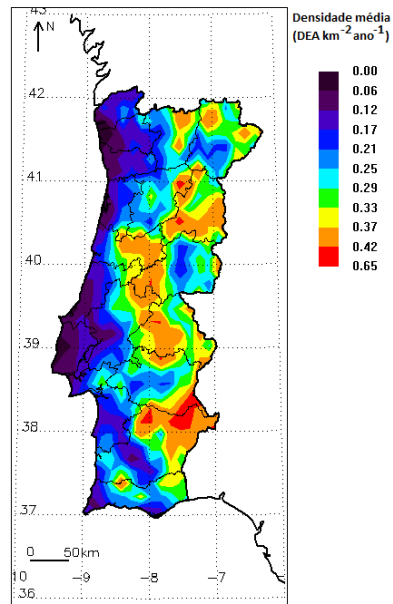


Fig.A2 – Distribuição espacial de valores médios de densidade de DEA NS, com resolução de 0.15°x0.15° no período de 2003 a 2009.

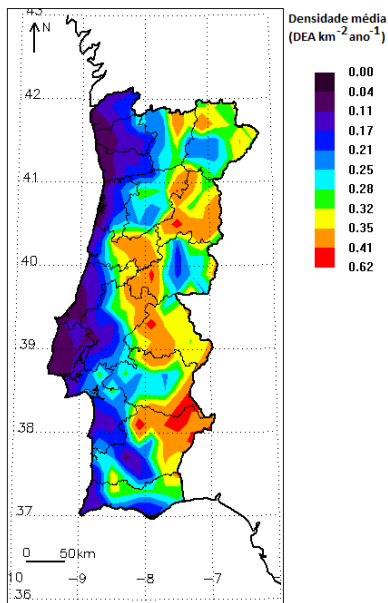


Fig.A3 – Distribuição espacial de valores médios de densidade de DEA NS, com resolução de 0.20°x0.20° no período de 2003 a 2009.

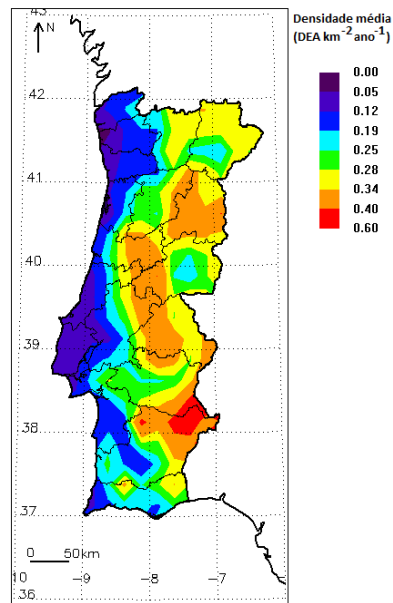


Fig.A4 – Distribuição espacial de valores médios de densidade de DEA NS, com resolução de 0.25°x0.25° no período de 2003 a 2009.

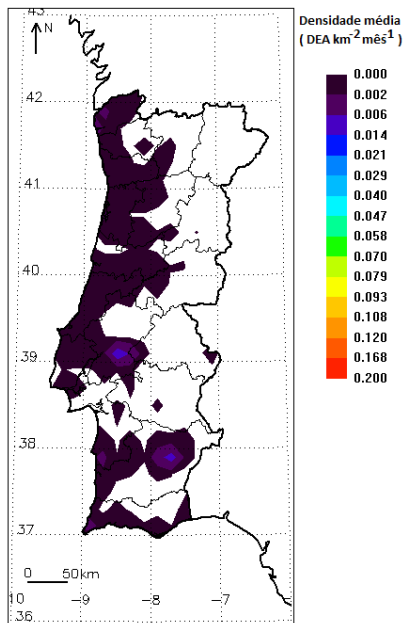


Fig.A5 – Distribuição espacial de valores médios de densidade de DEA NS no mês de Janeiro, com resolução de 0.20°x0.20° no período de 2003 a 2009.

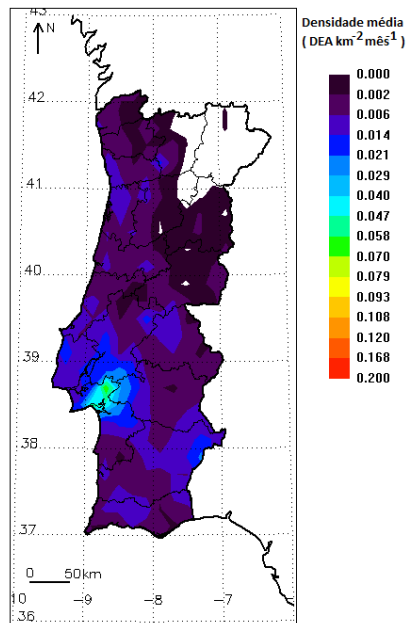


Fig.A6 – Distribuição espacial de valores médios de densidade de DEA NS no mês de Fevereiro, com resolução de 0.20°x0.20° no período de 2003 a 2009.

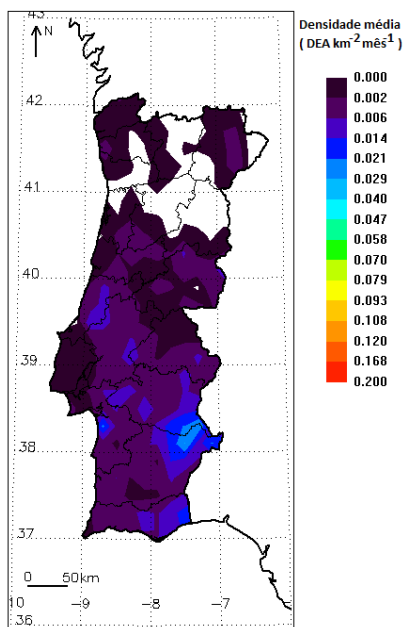


Fig.A7 – Distribuição espacial de valores médios de densidade de DEA NS no mês de Março, com resolução de 0.20°x0.20° no período de 2003 a 2009.

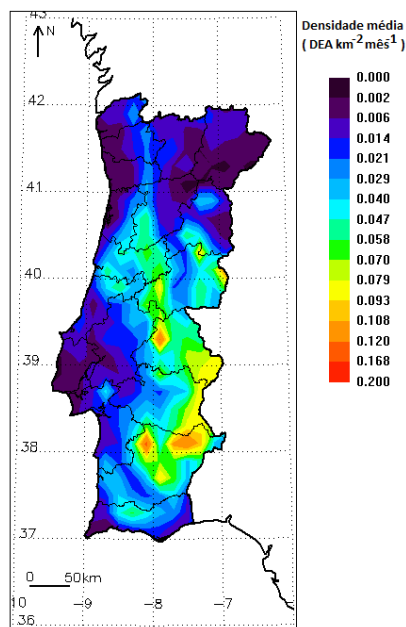


Fig.A8 – Distribuição espacial de valores médios de densidade de DEA NS no mês de Abril, com resolução de 0.20°x0.20° no período de 2003 a 2009.

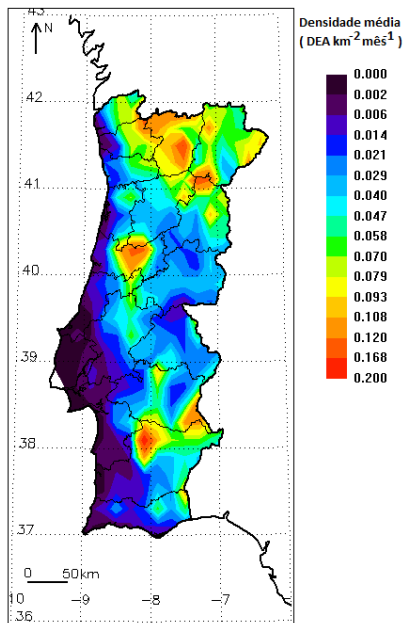


Fig.A9 – Distribuição espacial de valores médios de densidade de DEA NS no mês de Maio, com resolução de $0.20^{\circ} \times 0.20^{\circ}$ no período de 2003 a 2009.

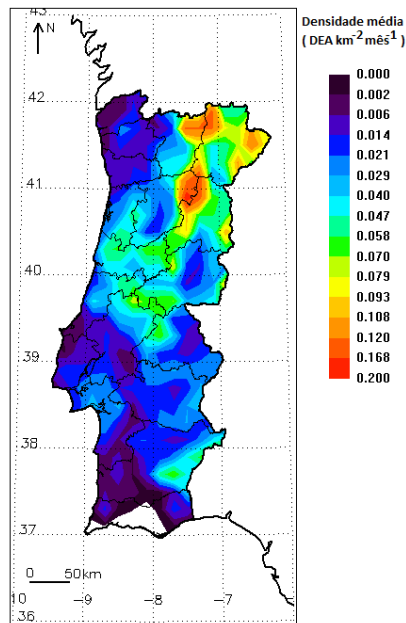


Fig.A10 – Distribuição espacial de valores médios de densidade de DEA NS no mês de Junho, com resolução de $0.20^{\circ} \times 0.20^{\circ}$ no período de 2003 a 2009.

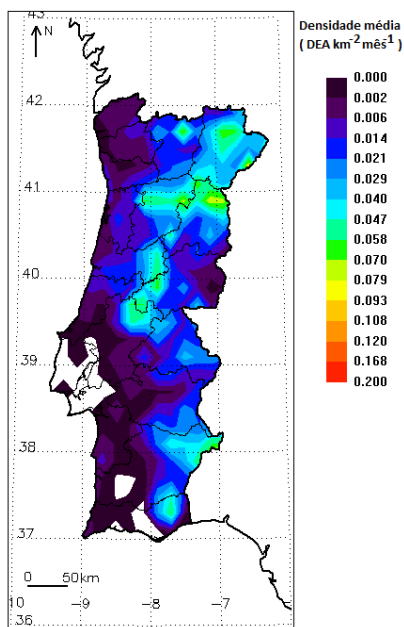


Fig.A11 – Distribuição espacial de valores médios de densidade de DEA NS no mês de Julho, com resolução de $0.20^{\circ} \times 0.20^{\circ}$ no período de 2003 a 2009.

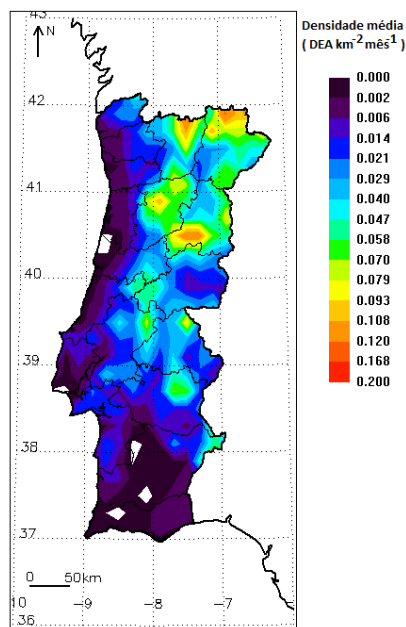


Fig.A12 – Distribuição espacial de valores médios de densidade de DEA NS no mês de Agosto, com resolução de $0.20^{\circ} \times 0.20^{\circ}$ no período de 2003 a 2009.

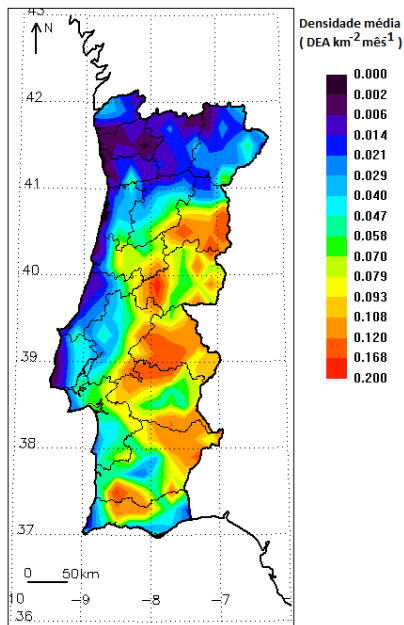


Fig.A13 – Distribuição espacial de valores médios de densidade de DEA NS no mês de Setembro, com resolução de $0.20^{\circ} \times 0.20^{\circ}$ no período de 2003 a 2009.

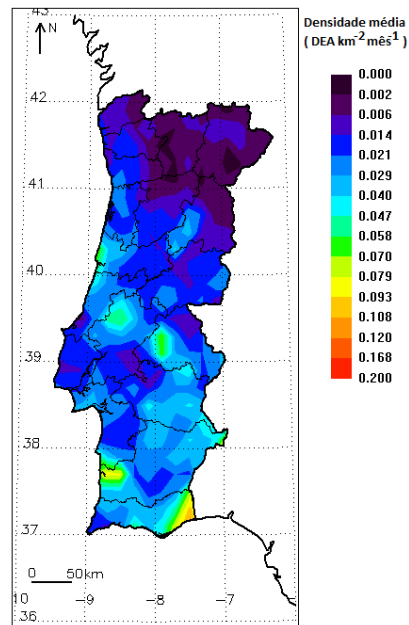


Fig.A14 – Distribuição espacial de valores médios de densidade de DEA NS no mês de Outubro, com resolução de $0.20^{\circ} \times 0.20^{\circ}$ no período de 2003 a 2009.

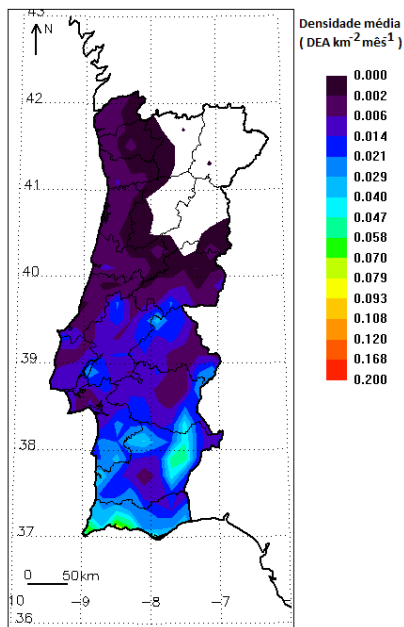


Fig.A15 – Distribuição espacial de valores médios de densidade de DEA NS no mês de Novembro, com resolução de $0.20^{\circ} \times 0.20^{\circ}$ no período de 2003 a 2009.

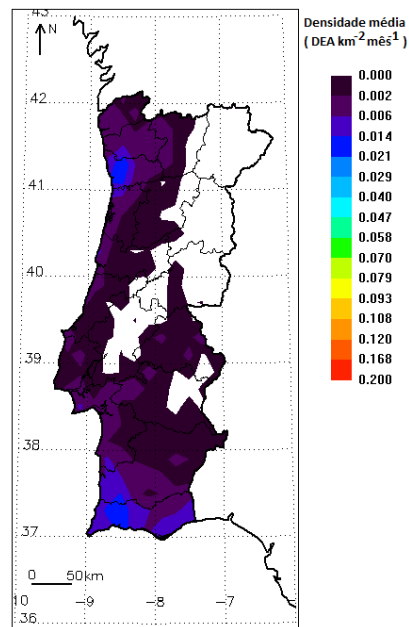


Fig.A16 – Distribuição espacial de valores médios de densidade de DEA NS no mês de Dezembro, com resolução de $0.20^{\circ} \times 0.20^{\circ}$ no período de 2003 a 2009.

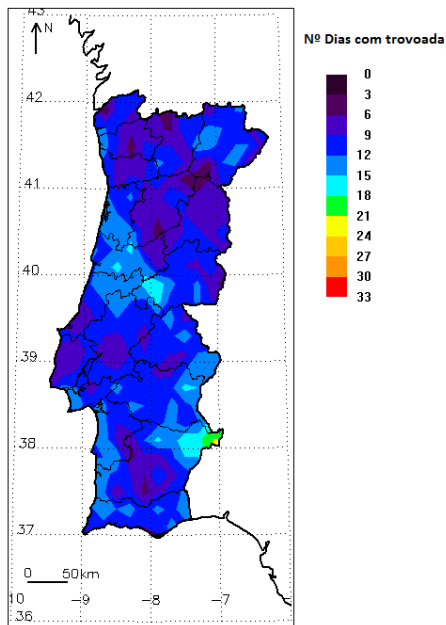


Fig.A17 – Distribuição espacial do número de dias com trovoada para o ano de 2003, com resolução de 0.20°x0.20°.

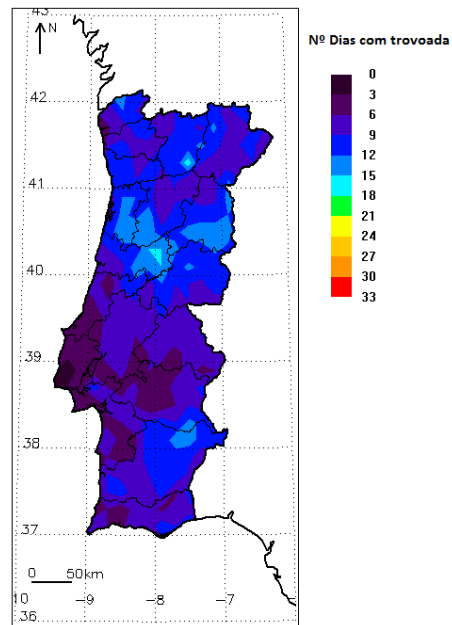


Fig.A18 – Distribuição espacial do número de dias com trovoada para o ano de 2004, com resolução de 0.20°x0.20°.

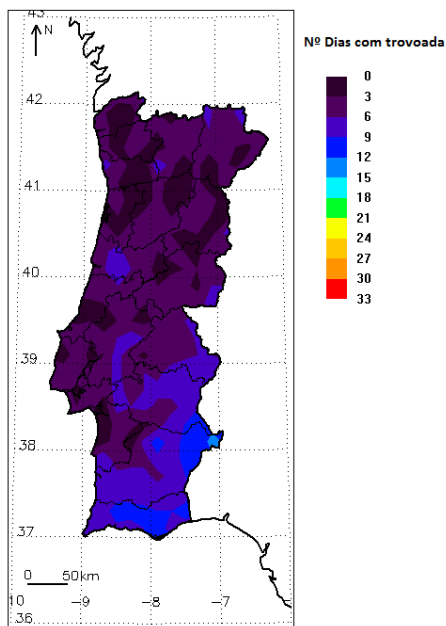


Fig.A19 – Distribuição espacial do número de dias com trovoada para o ano de 2005, com resolução de 0.20°x0.20°.

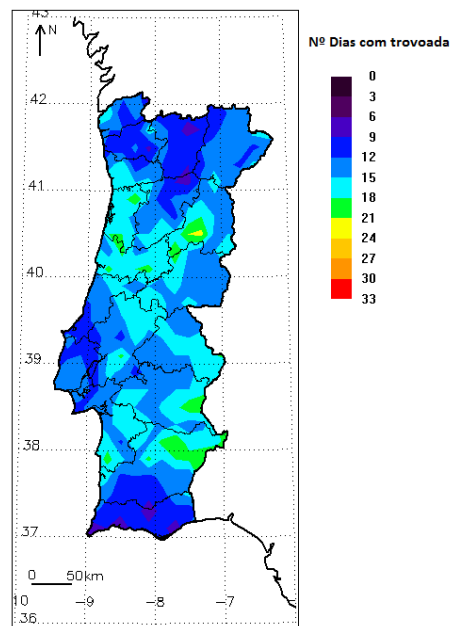


Fig.A20 – Distribuição espacial do número de dias com trovoada para o ano de 2006, com resolução de 0.20°x0.20°.

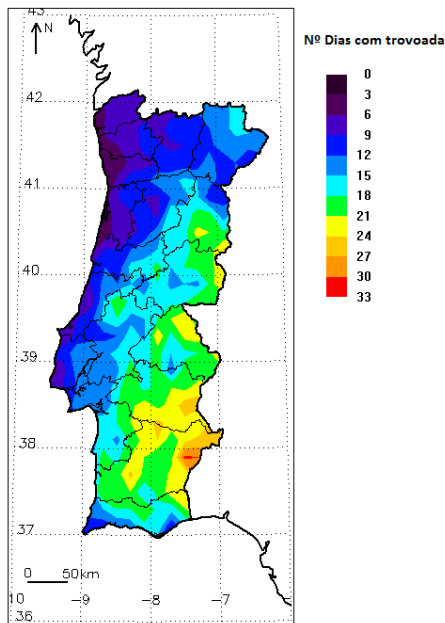


Fig.A21 – Distribuição espacial do número de dias com trovoada para o ano de 2007, com resolução de 0.20°x0.20°.

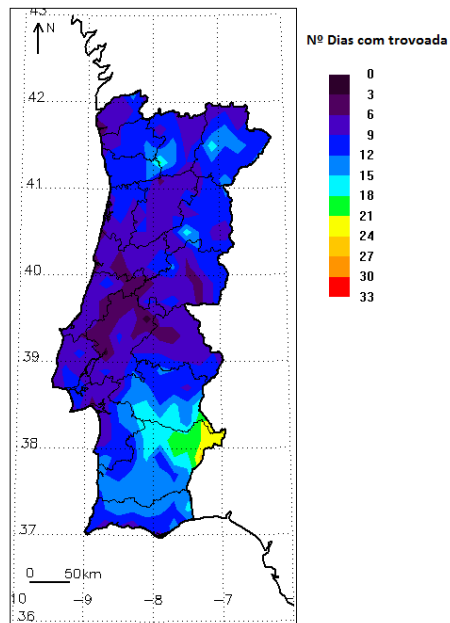


Fig.A22 – Distribuição espacial do número de dias com trovoada para o ano de 2008, com resolução de 0.20°x0.20°.

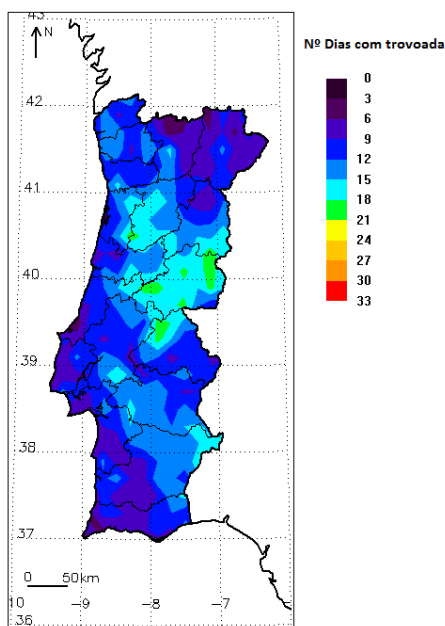


Fig.A23 – Distribuição espacial do número de dias com trovoada para o ano de 2009, com resolução de 0.20°x0.20°.

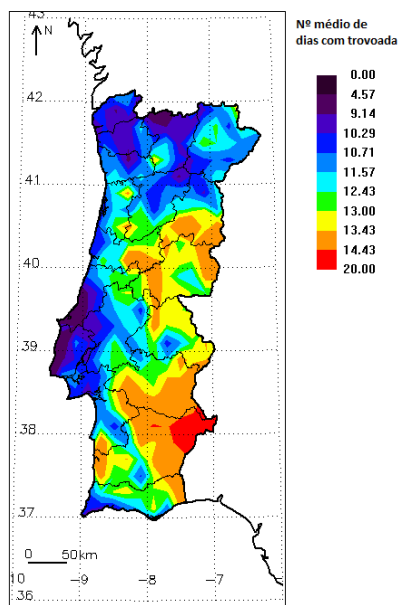


Fig.A24 – Distribuição espacial do número médio de dias com trovoada, com resolução de 0.20°x0.20° para o período de 2003 a 2009.